

離 岸 流 の 理 論 (1)

—直角入射の場合—

土屋 義人*・安田 孝志**・徳田 邦博***

1. 緒 言

著者らは有限振幅波による輸送現象を究明する目的で、過減せつ動法による有限振幅波理論を開発し、波の質量輸送の定式化を試みてきた。本研究では、これらの研究の応用として、離岸流の理論をつぎのような考え方のもとに試みる。すなわち、従来の理論的取扱においては、波による質量輸送の影響を直接導入していないので、離岸流の発生に伴う流れの連続関係が明確でなく、Shepard らの模式図のように、波の質量輸送に伴う海水が離岸流として沖方向にもどるという説明ができない。したがって、ここでは波による質量輸送を海浜流の基礎方程式にあらわに導入し、取扱いの都合上その線形化した方程式の近似解として直角入射の場合の一様海浜における離岸流の理論を開発するが、その発生間隔は固有値として決定される。この発生間隔の理論的表示は、現地観測および実験の結果と比較される。

2. 基礎方程式

2.1 海浜流の基礎方程式

いま、図-1 のような座標系を用い、Euler の運動方程式および連続式において、流速ベクトル \mathbf{q} を流れ \mathbf{u} と波によるもの \mathbf{u}' の和 $\mathbf{q} = \mathbf{u} + \mathbf{u}'$ として表わして時間平均をとり、全水深にわたって積分すれば、結局海浜流の基礎方程式として次式が得られる。

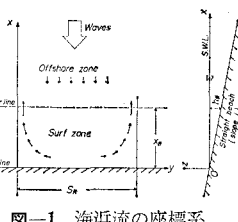


図-1 海浜流の座標系

$$\left. \begin{aligned} \frac{\partial}{\partial t} \rho(h+\bar{\eta}) + \nabla \cdot (\dot{M} + M) &= 0 \\ \frac{\partial}{\partial t} \tilde{M}_x + \frac{\partial}{\partial x} (\tilde{U} \tilde{M}_x + S_{xx}) + \frac{\partial}{\partial y} (\tilde{U} \tilde{M}_y + S_{xy}) &= -\rho g(h+\bar{\eta}) \frac{\partial \bar{\eta}}{\partial x} \\ \frac{\partial}{\partial t} \tilde{M}_y + \frac{\partial}{\partial x} (\tilde{V} \tilde{M}_x + S_{yx}) + \frac{\partial}{\partial y} (\tilde{V} \tilde{M}_y + S_{yy}) &= \end{aligned} \right\}$$

$$= -\rho g(h+\bar{\eta}) \frac{\partial \bar{\eta}}{\partial y} \quad \dots(1)$$

ここに、

$$\left. \begin{aligned} \tilde{U} &= U + \frac{M_x}{\rho(h+\bar{\eta})}, \quad \tilde{V} = V + \frac{M_y}{\rho(h+\bar{\eta})}, \\ S_{xx} &= \int_{-h}^{\eta} (\rho u'^2 + p) dz - \frac{1}{2} \rho g(h+\bar{\eta})^2 - \frac{M_x^2}{\rho(h+\bar{\eta})}, \\ S_{yy} &= \int_{-h}^{\eta} (\rho v'^2 + p) dz - \frac{1}{2} \rho g(h+\bar{\eta})^2 - \frac{M_y^2}{\rho(h+\bar{\eta})}, \\ S_{xy} &= S_{yx} = \int_{-h}^{\eta} \rho u' v' dz - \frac{M_x M_y}{\rho(h+\bar{\eta})}, \\ \tilde{M}_x &= \tilde{M}_x + M_x, \quad \tilde{M}_y = \tilde{M}_y + M_y, \\ \tilde{M} &= \int_{-h}^{\eta} \rho u dz = \rho \mathbf{u}(h+\bar{\eta}), \quad M = \int_{-h}^{\eta} \rho u' dz \end{aligned} \right\} \quad \dots(2)$$

であり、 U および V は流れ \mathbf{u} の x および y 方向の成分を表わし、 S_{xx} , S_{xy} および S_{yy} はいわゆる radiation stress tensor である。式(1)および(2)は Phillips の表示と同一であるが、前述した理由から波による質量輸送 M をいかに定式化し導入するかが問題となるわけである。

つぎに、定常状態の沿岸流の基礎方程式について考えよう。ただし、海底摩擦と水平混合による抵抗項 R_x および R_y を導入すれば、式(1)より次式が得られる。すなわち、連続方程式および運動量方程式として、

$$\frac{\partial M_x}{\partial x} + \frac{\partial M_y}{\partial y} = 0 \quad \dots(3)$$

$$\left. \begin{aligned} \frac{\partial}{\partial x} (\tilde{U} \tilde{M}_x + S_{xx}) + \frac{\partial}{\partial y} (\tilde{U} \tilde{M}_y + S_{xy}) + R_x &= -\rho g(h+\bar{\eta}) \frac{\partial \bar{\eta}}{\partial x} \\ \frac{\partial}{\partial y} (\tilde{V} \tilde{M}_x + S_{yx}) + \frac{\partial}{\partial x} (\tilde{V} \tilde{M}_y + S_{yy}) + R_y &= -\rho g(h+\bar{\eta}) \frac{\partial \bar{\eta}}{\partial y} \end{aligned} \right\} \quad \dots(4)$$

となる。さらに、等流状態すなわち通常の沿岸流の理論の場合を考えると、式(3)および(4)から、

$$\left. \begin{aligned} \frac{\partial}{\partial x} (\tilde{U} \tilde{M}_x + S_{xx}) + R_x &= -\rho g(h+\bar{\eta}) \frac{\partial \bar{\eta}}{\partial x} \\ \frac{\partial}{\partial x} (\tilde{V} \tilde{M}_x + S_{yx}) + R_y &= 0, \quad \frac{\partial}{\partial x} \tilde{M}_x = 0 \end{aligned} \right\} \quad \dots(5)$$

* 正会員 工博 京都大学教授 防災研究所

** 正会員 工博 岐阜大学講師 工学部土木工学科

*** 正会員 工修 新日本製鉄(株)設備技術センターエネルギー輸送エンジニアリング部

$$\left. \begin{aligned} \varepsilon_x &= \rho N_x \frac{\sqrt{g(h+\bar{\eta})}}{i} (h+\bar{\eta}) \\ \varepsilon_y &= \rho N_y \frac{\sqrt{g(h+\bar{\eta})}}{i} (h+\bar{\eta}) \end{aligned} \right\} \dots\dots\dots (18)$$

ここに, i は海浜勾配, N_x および N_y は係数である.

以上の表示によって、式(4)中の R_x および R_y は、次式で与えられる：

$$R_x = B_x - \tau_x, \quad R_y = B_y - \tau_y \quad \dots \dots \dots \quad (19)$$

3. 離岸流の解

3.1 線形化した基礎方程式

碎波帯内における連続方程式は、式(3)および(10)によって与えられるので、

$$\left. \begin{aligned} \frac{\partial \psi^*}{\partial y^*} &= (h^* + \bar{\eta}^*) \{ U^* - \sqrt{h^* + \bar{\eta}^*} Q \} \\ \frac{\partial \psi^*}{\partial x^*} &= -(h^* + \bar{\eta}^*) V \end{aligned} \right\} \dots (20)$$

で表わされる流れ関数を導入すれば、必然的に満足される。ここに、 $\bar{\eta}^* = \bar{\eta}/h_B$, $h^* = h/h_B$, $U^* = U/\sqrt{gh_B}$, $V^* = V/\sqrt{gh_B}$, $x^* = x/h_B$ および $y^* = y/h_B$ である。同様に、碎波帯外においては、次式を定義する。

$$\left. \begin{aligned} \frac{\partial y^*}{\partial y^*} &= -(h^* + \bar{\eta}^*) \{ U^* - QB \} \\ \frac{\partial y^*}{\partial x^*} &= -(h^* + \bar{\eta}^*) V^* \end{aligned} \right\} \dots\dots\dots(21)$$

一方、式(4)および(19)から得られる運動量方程式を線形化したあと、式(20)および(21)の流れ関数によって表わし、さらに ψ^* を消去すれば、微小項を省略して、結局次式が得られる。すなわち、一様海浜の碎波帶内において、

$$\begin{aligned}
& -\frac{\beta}{\alpha} N_x \frac{\partial^4 \psi^*}{\partial y^{*4}} + \left(N_y - \frac{\beta}{\alpha} N_x \right) \frac{\partial^4 \psi^*}{\partial x^{*2} \partial y^{*2}} \\
& - N_y \frac{\partial^4 \psi^*}{\partial y^{*4}} - (N_y - Q) \frac{1}{x^*} \frac{\partial^3 \psi^*}{\partial x^{*3}} \\
& + \left(\frac{\beta}{\alpha} \left(Q - \frac{1}{2} N_x \right) + \frac{1}{2} N_y \right) \frac{1}{x^*} \frac{\partial^3 \psi^*}{\partial x^* \partial y^{*2}} \\
& + \left(\frac{3}{4} N_y + \frac{CB}{i} \right) \frac{1}{x^{*2}} \frac{\partial^2 \psi^*}{\partial x^{*2}} \\
& + \frac{\beta}{\alpha} \left(Q + \frac{2CB}{i} + \frac{1}{2} N_x \right) \frac{1}{x^{*2}} \frac{\partial^2 \psi^*}{\partial y^{*2}} \\
& - \left(\frac{3}{4} Q + \frac{3}{2} \frac{CB}{i} + \frac{3}{4} N_y \right) \frac{1}{x^{*3}} \frac{\partial \psi^*}{\partial x^*} = 0 \dots \dots (22)
\end{aligned}$$

また、碇波帶外において、

$$\begin{aligned} & \left(N_y + \frac{\beta'}{\alpha'} N_x \right) \frac{\partial^4 \psi^*}{\partial x^{*4}} - \left(N_y - \frac{\beta'}{\alpha'} N_x \right) \frac{\partial^4 \psi^*}{\partial x^{*2} \partial y^{*2}} \\ & + \left(N_y (ix^*)^{-1/2} - Q(ix^*)^{-2} \right) \frac{\partial^3 \psi^*}{\partial x^{*3}} \\ & - \left(\frac{1}{2} N_y (ix^*)^{-1/2} + Q \frac{\beta'}{\alpha'} (ix^*)^{-2} \right. \\ & \left. - \frac{1}{2} N_x \frac{\beta'}{\alpha'} (ix^*)^{-1/2} \right) \frac{\partial^3 \psi^*}{\partial x^* \partial y^{*2}} \end{aligned}$$

$$\begin{aligned}
& - \left(\frac{\beta'}{\alpha'} \right) \left\{ \frac{1}{2} N_x(ix^*)^{-1/2} x^{*-1} + 2CB(ix^*)^{-9/4} \right. \\
& - 2Q(ix^*)^{-2} x^{*-1} \cdot \frac{\partial^2 \psi^*}{\partial y^{*2}} - \left. \left(\frac{\beta'}{\alpha'} \right) \left\{ \frac{3}{4} N_y(ix^*)^{-1/2} \right. \right. \\
& \cdot x^{*-1} - 3Q(ix^*)^{-2} x^{*-1} + CB(ix^*)^{-9/4} \left. \right\} \frac{\partial^2 \psi^*}{\partial x^{*2}} \\
& + \left(\frac{\beta'}{\alpha'} \right) \left\{ \frac{3}{4} N_y(ix^*)^{1/2} x^{*-2} - 3Q(ix^*)^{-2} x^{*-2} \right. \\
& + \left. \frac{9}{4} CB(ix^*)^{-9/4} x^{*-1} \right\} \frac{\partial \psi^*}{\partial x^*} = 0 \quad \dots\dots\dots (24)
\end{aligned}$$

ここに、 $\alpha' \doteq \beta' \doteq 1$ であるので、以下では $\alpha'/\beta'=1$ と近似する。

3.2 近似解

(1) 水平混合項と摩擦項を省略した場合

前述したように、波の質量輸送をあらわに導入した基礎方程式であるので、海底摩擦を省略しても、離岸流は発生するものと期待されよう。式(22)および(24)から、この場合の方程式として、碎波帯の内外に対して次式が得られる。

$$\left[\frac{\partial^3 \psi^*}{\partial x^{*3}} + \frac{\beta}{\alpha} \frac{\partial^3 \psi^*}{\partial x^* \partial y^{*2}} - \frac{\beta}{\alpha} \frac{1}{x^*} \frac{\partial^2 \psi^*}{\partial y^{*2}} \right. \\ \left. - \frac{3}{4} \frac{1}{x^{*2}} \frac{\partial \psi^*}{\partial x^*} \right] Q = 0 \quad \dots \dots \dots (25)$$

$$\left[\frac{\partial^3 \psi^*}{\partial x^{*3}} + \frac{\partial^3 \psi^*}{\partial x^{*2} \partial y^{*2}} - \frac{3}{x^*} \frac{\partial^2 \psi^*}{\partial x^{*2}} - \frac{2}{x^*} \frac{\partial^2 \psi^*}{\partial y^{*2}} + \frac{3}{x^{*2}} \frac{\partial \psi^*}{\partial x^*} \right] Q = 0 \quad \dots \dots \dots (26)$$

であり、注目すべきことは、波の質量輸送項 Q が存在する場合に限って、この方程式が成立することである。

式(25)および(26)において、 $\psi^* = \xi(x^*)\zeta(y^*)$ とすれば、砂波帶の内外に対して、次式が得られる。

$$\left. \begin{aligned} \frac{1}{\zeta} \frac{d^2 \zeta}{dy^{*2}} &= -\lambda^2 \\ \frac{d^3 \xi}{dx^{*3}} - \left\{ \frac{3}{4} \frac{1}{x^{*2}} + \frac{\beta}{\alpha} \lambda^2 \right\} \frac{d\xi}{dx^*} - \frac{\beta}{\alpha} \frac{\lambda^2}{x^*} \xi &= 0 \end{aligned} \right\} \quad (28)$$

$$\left. \begin{aligned} \frac{1}{\zeta} \frac{d^2 \zeta}{dy^{*2}} &= -\lambda^2 \\ \frac{d^3 \xi}{dx^{*3}} - \frac{3}{x^*} \frac{d^2 \xi}{dx^{*2}} - \left(\lambda^2 + \frac{3}{x^{*2}} \right) \frac{d\xi}{dx^*} - 2 \frac{\lambda^2}{x^{*2}} \xi &= 0 \end{aligned} \right\} \quad (29)$$

ここに、 λ は固有値として決定されるべき定数である。

しかし、これらの方程式を解析的に解くことは若干困難であるので、ここでは近似的に碎波帯内においては、汀線近傍で、また碎波帯外では十分沖側で成立する解を求め、両者を碎波点において結合することにする。この方法によれば、式(28)および(29)の第1式から、次式の解が得られる。

$$\zeta \equiv C_1 \sin \lambda y^* + C_2 \cos \lambda y^* \quad \dots \dots \dots \quad (30)$$

ここに、 C_1 および C_2 は積分定数である。第 2 式より

$$\frac{1}{x^*} \frac{d\xi}{dx^*} + \frac{4}{3} \frac{\beta}{\alpha} \lambda^2 \xi = 0, \quad \frac{d^3 \xi}{dx^{*3}} - \lambda^2 \frac{d\xi}{dx^*} = 0$$
(31)

が得られるので、その解は次式で表わされる。

$$\left. \begin{aligned} \xi &= C_3 \exp\left(-\frac{2}{3} \frac{\beta}{\alpha} \lambda^2 x^{*2}\right) \\ \xi &= C_4 e^{-\lambda x^*} + C_5 e^{\lambda x^*} + C_6 \end{aligned} \right\} \dots \quad (32)$$

ここに, C_3 , C_4 , C_5 および C_6 は積分定数である. したがって, 流れ関数は碎波帯の内外に対して, それぞれ次式で与えられる.

$$\left. \begin{aligned} \phi^* &= C_3(C_1 \sin \lambda y^* + C_2 \cos \lambda y^*) \\ &\quad + \exp\left(-\frac{2}{3} \frac{\beta}{\alpha} \lambda^2 x^{*2}\right) \\ \psi^* &= (C_1 \sin \lambda y^* + C_2 \cos \lambda y^*) \\ &\quad + (C_4 e^{-\lambda x^*} + C_5 e^{\lambda x^*} + C_6) \end{aligned} \right\} \dots\dots\dots (33)$$

ここで碎波点および無限遠における境界条件として,
 $x^* = x_B^*$ において,

$$\left(\frac{\partial \psi^*}{\partial y^*} \right)_{\text{off}} = \left(\frac{\partial \psi^*}{\partial x^*} \right)_{\text{off}} \rightarrow 0 \quad \dots \dots \dots \quad (34)$$

を用い、 $\sin \lambda y^*$ の解のみを取扱えば、固有値は結局次式で与えられる。

$$\lambda=0 \quad \text{および} \quad (3\alpha/4\beta)/x_B^* \quad \dots \dots \dots \quad (35)$$

これを書き換えると、離岸流の発生間隔を S_R とし、
 $S_R^* = S_R/h_B$ を定義して次式となる。

$$S_R^*/x_B^* = \infty \quad \text{および} \quad (8\pi/3)(\beta/\alpha) \quad \dots \dots \dots (36)$$

ただし、前者の場合には離岸流は発生せず、波の質量輸送による海水はそのまま沖へもどることになると理解される。前述したように、離岸流の発生は波の質量輸送によるが、後者によれば同時に平均水位 \bar{u} の沿岸方向分布を伴って、離岸流の発生間隔は radiation stress 項によって表わされる。

(2) 水平混合項を省略し摩擦項を考慮した場合

この場合の基礎方程式は、式(22)および(24)から
碎波帯の内外に対して、次式で与えられる。

$$\begin{aligned}
& Q \frac{\partial^3 \psi^*}{\partial x^{*3}} + \frac{\beta}{\alpha} Q \frac{\partial^3 \psi^*}{\partial x^* \partial y^{*2}} + \frac{CB}{i} \frac{1}{x^*} \frac{\partial^2 \psi^*}{\partial x^{*2}} \\
& + \frac{\beta}{\alpha} \left(Q + \frac{2CB}{i} \right) \frac{1}{x^*} \frac{\partial^2 \psi^*}{\partial y^{*2}} \\
& - \left(\frac{3}{4} Q + \frac{3CB}{2i} \right) \frac{1}{x^{*2}} \frac{\partial \psi^*}{\partial x^*} = 0 \\
& Q \frac{\partial^3 \psi^*}{\partial x^{*3}} + Q \frac{\partial^3 \psi^*}{\partial x^* \partial y^{*2}} \\
& + \{2CB(ix^*)^{-1/4} - 2Qx^{*-1}\} \frac{\partial^2 \psi^*}{\partial y^{*2}} \\
& - (3Qx^{*-1} - CB(ix^*)^{-1/4}) \frac{\partial^2 \psi^*}{\partial x^{*2}}
\end{aligned}$$

$$+ \left\{ 3Qx^{*-2} - \frac{9}{4}CB(ix^*)^{-1/4}x^{*-1} \right\} \frac{\partial \psi^*}{\partial x^*} = 0 \quad \dots \dots \dots \quad (37)$$

ただし、前述した理由から、碎波帯内では汀線近傍を、また碎波帯外では十分沖側を考えることにすれば、式(37)は次式で近似される。

$$\left. \begin{aligned} & \frac{CB}{i} \frac{\partial^2 \psi^*}{\partial x^{*2}} + \frac{\beta}{\alpha} \left(Q + \frac{CB}{i} \right) \frac{\partial^2 \psi^*}{\partial y^{*2}} \\ & - \left(\frac{3}{4} Q + \frac{3CB}{2i} \right) \frac{1}{x^*} \frac{\partial \psi^*}{\partial x^*} = 0 \\ & \frac{\partial^3 \psi^*}{\partial x^{*3}} + \frac{\partial^3 \psi^*}{\partial x^* \partial y^{*2}} = 0 \end{aligned} \right\} \dots\dots\dots (38)$$

第2式は(1)の場合と同一であるから、第1式について考える。 $\psi^* = \xi(x^*)\zeta(y^*)$ とすれば、次式が得られる。

$$\left. \begin{aligned} & \frac{1}{\zeta} \frac{d^2 \zeta}{dy^{*2}} = -\lambda^2 \\ & \frac{CB}{i} \frac{d^2 \xi}{dx^{*2}} - \left(\frac{3}{4}Q + \frac{3CB}{i} \right) \frac{1}{x^*} \frac{d\xi}{dx^*} \\ & - \frac{\beta}{\alpha} \left(Q + \frac{CB}{i} \right) \lambda^2 \xi = 0 \end{aligned} \right\} \dots (39)$$

第2式の解は変形 Bessel 関数 L で、次式で表わされる。

$$\xi = C_7 x^{*\nu} I_\nu(\pm \sqrt{q} x^*) + C_8 x^{*\nu} L_\nu(\pm \sqrt{q} x^*) \quad \dots \dots \dots \quad (40)$$

流れ関数は碎波帯の内外に対して、次式で表わされる。

$$\left. \begin{aligned} \psi^* &= (C_1 \sin \lambda y^* + C_2 \cos \lambda y^*) \\ &\quad \cdot (C_7 x^{*s} L(\pm \sqrt{q} x^*) + C_8 x^{*v} L_v(\pm \sqrt{q} x^*)) \\ \psi^* &= (C_1 \sin \lambda y^* + C_2 \cos \lambda y^*) \\ &\quad \cdot (C_4 e^{-\lambda x^*} + C_5 e^{\lambda x^*} + C_6) \end{aligned} \right\} \quad (49)$$

この場合の積分定数を定めるための境界条件として、

を用いれば、結局

が得られ、固有値は次式で与えられる:

$$\lambda=0 \quad \text{および} \quad \frac{\left(\frac{3}{4}Q + \frac{3CB}{2i}\right)}{\frac{\beta}{\alpha}\left(Q + \frac{CB}{i}\right) - \frac{CB}{i}} \frac{1}{x_B^*} \quad \dots \quad (45)$$

したがって、有限な離岸流の発生間隔は式 (36) に対応して次式で表わされる。

$$\frac{S_R^*}{x_B^*} = \frac{2\pi \left(\frac{\beta}{\alpha} \left(Q + \frac{CB}{i} \right) - \frac{CB}{i} \right)}{\frac{3}{4}Q + \frac{3CB}{2i}} \quad \dots\dots\dots (46)$$

したがって、流れ関数は碎波帯の内外に対して、 C を定数とすれば次式で表わされる。

$$\left. \begin{aligned} \psi^* &= C \frac{e^{-\lambda}}{I_2 \left\{ \lambda \sqrt{\frac{\beta}{\alpha} \left(Q + \frac{CB}{i} \right) \left(\frac{i}{CB} \right)} \right\}} \\ &\quad \cdot I_2 \left\{ \lambda \sqrt{\frac{\beta}{\alpha} \left(Q + \frac{CB}{i} \right) \left(\frac{i}{CB} \right)} \left(\frac{x^*}{x_B^*} \right) \right\} \\ &\quad \cdot \left(\frac{x^*}{x_B^*} \right)^v \sin \left(\lambda \frac{y^*}{x_B^*} \right) \\ \psi^* &= C \exp \left(-\lambda \frac{x^*}{x_B^*} \right) \sin \left(\lambda \frac{y^*}{x_B^*} \right) \end{aligned} \right\} \quad (47)$$

同様に、平均水位 \bar{h} についても表示できる。なお、式(47)による流線図を計算した一例を図-4 に示す。

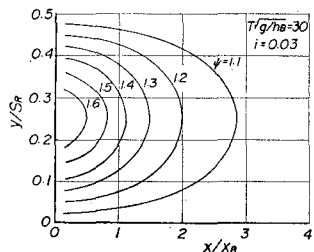


図-4 離岸流における流線図の一例 ($C=1$ とした場合)

4. 離岸流の発生間隔

前述した近似解によると、海底摩擦を省略した場合と考慮した場合、離岸流の発生間隔はそれぞれ式(36)および(46)で与えられるので、図-2を用いて S_1 および S_2 を計算して図-5に示す。この場合、 S_1 および S_2 はそれぞれ碎波帯の内外の領域における平均の値として評価すべきであるので、碎波帯内では $h_B/2$ とし、また碎波帶外では h_B で代表させた。また摩擦係数については、便宜上 $C=0.02$ とした。図中最上部の曲線は、摩擦項を省略した場合であり、また離岸流の発生間隔に関する実測・実験値が比較のために示されている。

図-5によれば、離岸流の発生間隔 S_R/x_B は波の無次元周期 $T\sqrt{g/h_B}$ によってあまり変わらないが、海浜勾配 i が小さくなると、この値も小さくなる。そして、海底摩擦を省略すると、 $S_R/x_B \approx 8$ 程度となり、勾配 $i = 0.05$ では $S_R/x_B \approx 1.5 \sim 2$ 程度である。図中に示した

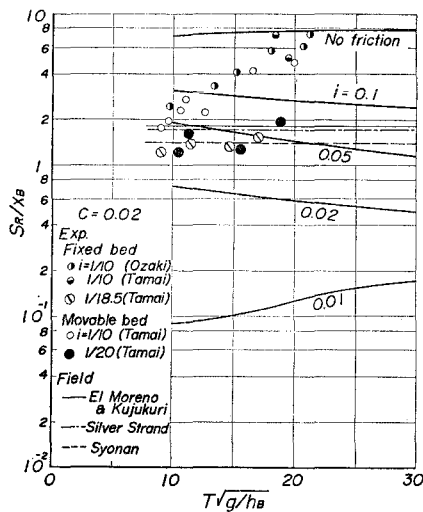


図-5 離岸流の発生間隔

実験値は、海浜勾配 $i=1/10$, $1/18.5$ および $1/20$ に対して玉井¹⁾が、また $i=1/10$ について尾崎ら²⁾が実施したものである。勾配 $i=1/18.5$ および $1/20$ の実験値は理論曲線とかなりよく一致しており、無次元周期によってほどんど変わらないが、 $1/10$ の場合には無次元周期とともに増大し、摩擦項を省略した場合の値に近くなっている。後者の傾向はすでに尾崎らによっても述べられているように、碎波形式の相違のほか edge waves による発生要因が支配的となるのであろう。また、図中には現地海岸における平均の離岸流間隔を堀川らの論文から計算して図示してあるが、それらの値は $i=0.05$ の場合の曲線に近いことがわかる。しかし、これらの理論結果を確かめるためには、さらに海浜勾配の小さな場合について実験し、流れのパターンまで比較すべきであろう。

5. 結語

以上、波の質量輸送に基づいて、直角入射の場合の離岸流の発生に関する理論を試み、基礎方程式の近似解を求めて、発生間隔が固有値として決定されることを示した。さらに、適切な解を求めるよう努力しなければならないが、この取扱いは斜め入射波の場合にも拡張できるので、離岸流の理論として進めていきたい。

参 考 文 献

- 1) 玉井佐一: 碎波帶付近における波および流れの挙動と海浜変形特性, 第25回海岸工学講演会論文集, pp. 204~208, 1978.
 - 2) 尾崎 晃・佐々木幹夫: 離岸堤に関する研究, 第23回海岸工学講演会論文集, pp. 471~476, 1976.